

Table ronde CRIOAC SoFCOT

Nouveaux outils diagnostiques

Frédéric Laurent

Institut des Agents Infectieux, Hôpital de la Croix Rousse, Hospices Civils de Lyon

Centre Internationale de Recherche en Infectiologie – INSERM U1111, CNRS UMR5308, Université Lyon 1, ENS de Lyon - Equipe "Pathogénèse des infections à staphylocoques"

Institut des Sciences Pharmaceutiques et Biologiques de Lyon, Département de Microbiologie

















Table ronde CRIOAC SoFCOT

- Les HCL ont participé au dévelopement du test JI BIOFIRE et ont reçu des financements de la part de bioMérieux
- bioMérieux a fourni grâcieusement tous les tests pour l'étude multicentrique internationale et nationale présentée



Table ronde CRIOAC SoFCOT

Nouveaux outils diagnostiques

Outils moléculaires +++

- Perspectives dans le domaine de la culture
- Perspectives dans le domaine des biomarqueurs



2022 : L'avènement de l'approche syndromique dans les IOA

Symptôme = caractéristique apparente chez le patient (ex : douleur)

Signe = un indicateur quantifiable de la maladie (ex : fièvre)

Syndrome = combinaison de signes et de symptômes qui apparaissent ensemble

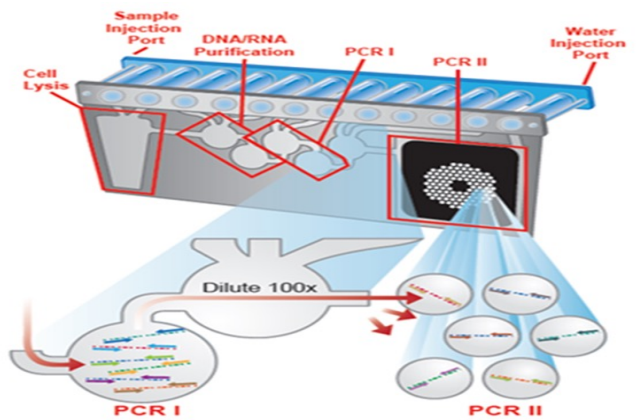
dans le cadre un cadre nosologique

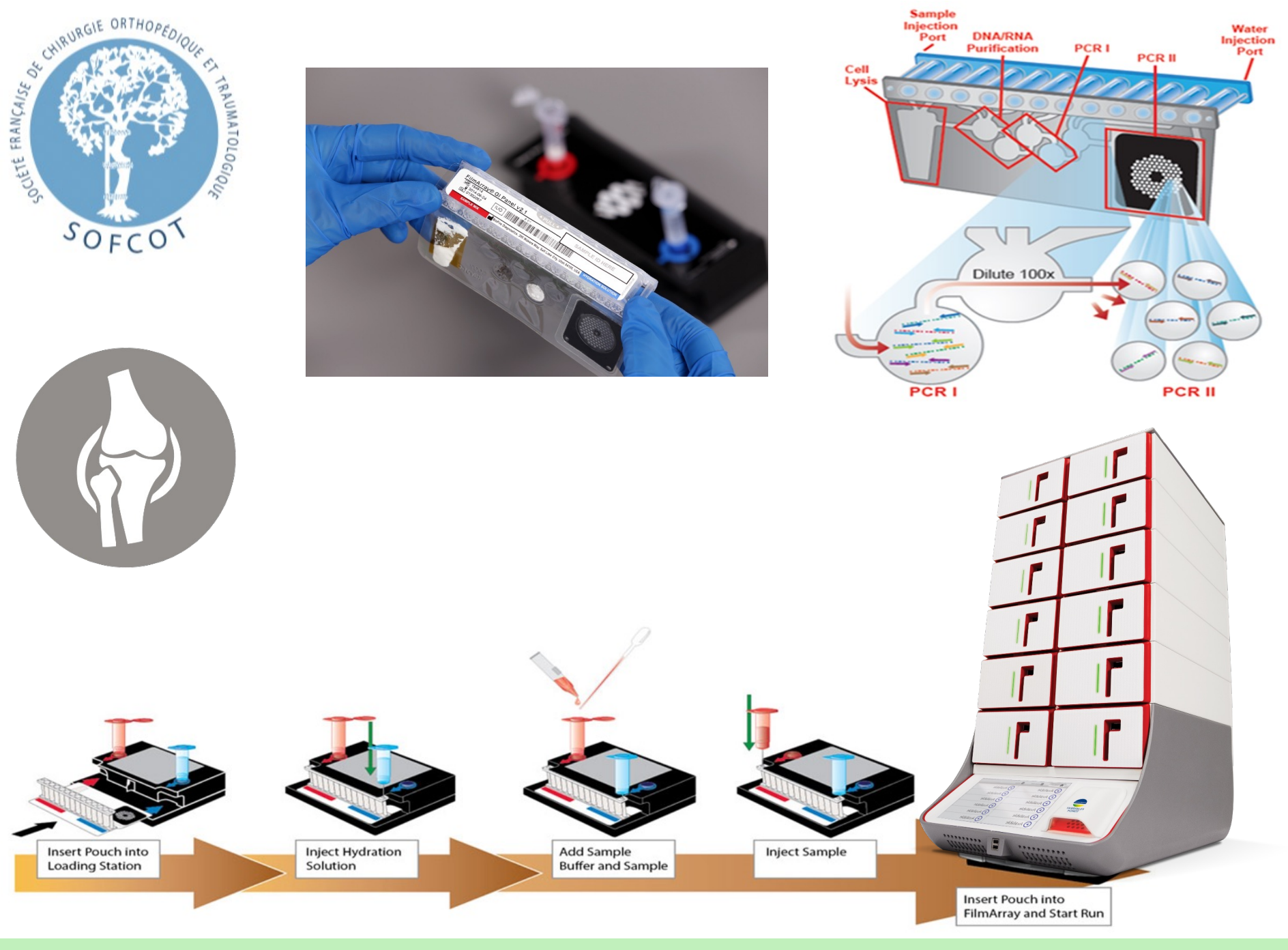


FilmArray® Technology - BIOFIRE

- PCR multi-multiplex d'un panel ciblé de 31 pathogènes
 + des mécanismes de résistances à impact majeur
- Préparation/manipulation ultra-simplifiée (< 5 minutes)
- Dispositif sous format de poche
- Test automatisé simplifié (run time ≈ 1 heure)
- Résultats directement interprétés et interprétables









Résultat disponible à H+1

200 euros

Table ronde CRIOAC SOFCOT - 2022



BIOFIRE® JOINT INFECTION (JI) PANEL

Validé officiellement <u>uniquement</u> sur les liquides articulaires

1 Test. 39 Targets. ~1 Hour.

GRAM-POSITIVE BACTERIA

Anaerococcus prevotii/vaginalis

Clostridium perfringens

Cutibacterium avidum/granulosum

Enterococcus faecalis

Enterococcus faecium

Finegoldia magna

Parvimonas micra

Peptoniphilus

Peptostreptococcus anaerobius

Staphylococcus aureus

Staphylococcus lugdunensis

Streptococcus spp.

Streptococcus agalactiae

Streptococcus pneumoniae

Streptococcus pyogenes

GRAM-NEGATIVE BACTERIA

Bacteroides fragilis

Citrobacter

Enterobacter cloacae complex

Escherichia coli

Haemophilus influenzae

Kingella kingae

Klebsiella aerogenes

Klebsiella pneumoniae group

Morganella morganii

Neisseria gonorrhoeae

Proteus spp.

Pseudomonas aeruginosa

Salmonella spp.

Serratia marcescens

YEAST

Candida spp.
Candida albicans

ANTIMICROBIAL RESISTANCE GENES

Carbapenemases

IMP

KPC

NDM

OXA-48-like

VIM

ESBL

CTX-M

Methicillin Resistance mecA/C and MREJ (MRSA)

Vancomycin Resistance vanA/B



BIOFIRE® JOINT INFECTION (JI) PANEL

1 Test. 39 Targets. ~1 Hour.



Anaerococcus prevotii/vaginalis

Clostridium perfringens

Cutibacterium avidum/granulosum

Enterococcus faecalis

Enterococcus faecium

Finegoldia magna

Parvimonas micra

Peptoniphilus

Peptostreptococcus anaerobius

Staphylococcus aureus

Staphylococcus lugdunensis

Streptococcus spp.

Streptococcus agalactiae

Streptococcus pneumoniae

Streptococcus pyogenes

GRAM-NEGATIVE BACTERIA

Bacteroides fragilis

Citrobacter

Enterobacter cloacae complex

Escherichia coli

Haemophilus influenzae

Kingella kingae

Klebsiella aerogenes

Klebsiella pneumoniae group

Morganella morganii

Neisseria gonorrhoeae

Proteus spp.

Pseudomonas aeruginosa

Salmonella spp.

Serratia marcescens

YEAST

Candida spp. Candida albicans

RESISTANCE GENES

KPC

NDM

OXA-48-like

ESBL

CTX-M

Methicillin Resistance

Vancomycin Resistance vanA/B

ANTIMICROBIAL

Carbapenemases

IMP

VIM

mecA/C and MREJ (MRSA)

Cibles manquantes Staphylococcus epidermidis **Cutibacterium acnes** Staphylocoques blancs Corynebacterium spp

⇒Espèces impliquées dans les infections ostéo-articulaires chroniques ⇒Contaminants ++ / flores cutanées / Faux positifs trop nombreux



Analyse des discordances entre résultats de culture vs appproche syndromique JI BIOFIRE

Etude prospective						
international						
multicentrique sur						
1544 liquides						
articulaires						

75 FP (4,5%) mais Gold Standard imparfait !!!

20 FN

Capacité à détécter les infections polymicrobiennes

Target n independant molecular mole			False positive results				False negative results		
Enterococcus faecium 2 2 2 1 1 1 1	Target	n	independant molecular	prior	bacteria in another sample/past history	n	independant molecular		
Finegoldia magna	Total	75	72	29	17	20	16		
Parvimonas micra - - - - 1 1 Peptoniphilus 1 1 0 0 0 Peptostreptococcus anaerobius 3 3 1 0 0 Staphylococcus lugdunensis 3 3 1 1/1 1 Streptococcus spp. 12 12 12 7 4 6 4 Bacteroides fragilis 1 1 1 0 1 1 1 0 1 1 1 1 0 1 1 1 1 0 1 1 1 1 1 0 1 1 1 1 1 1 0 0 1<	Enterococcus faecium	2	2	1	1				
Peptoniphilus 1 1 0 0 Peptostreptococcus anaerobius 3 3 1 0 Staphylococcus lugdunensis 3 3 1 1/1 Streptococcus spp. 12 12 7 4 6 4 Bacteroides fragilis 1 1 1 0 1 1 0 1 1 1 0 1 1 1 1 0 1 1 1 1 0 1 1 1 1 1 0 1 1 1 1 1 1 0 1 1 1 1 1 0 0 1 <td< td=""><td><u>Finegoldia</u> magna</td><td>1</td><td>1</td><td>0</td><td>0</td><td></td><td></td></td<>	<u>Finegoldia</u> magna	1	1	0	0				
Peptostreptococcus anaerobius 3 3 1 0 Staphylococcus aureus 22 19 9 5/2 7 6 Staphylococcus lugdunensis 3 3 1 1/1 1 Streptococcus spp. 12 12 12 7 4 6 4 Bacteroides fragilis 1 1 1 0 1 1 0 1 1 1 0 1 1 1 0 1 1 1 1 0 1 1 1 1 1 0 0 1 <td>Parvimonas micra</td> <td>-</td> <td>-</td> <td>-</td> <td>-</td> <td>1</td> <td>1</td>	Parvimonas micra	-	-	-	-	1	1		
Staphylococcus aureus 22 19 9 5/2 7 6 Staphylococcus lugdunensis 3 3 1 1/1 Streptococcus spp. 12 12 7 4 6 4 Bacteroides fragilis 1 1 1 0 2 3 3 0 3 3 3 3 1 <td< td=""><td><u>Peptoniphilus</u></td><td>1</td><td>1</td><td>0</td><td>0</td><td></td><td></td></td<>	<u>Peptoniphilus</u>	1	1	0	0				
Staphylococcus luadunensis 3 3 1 1/1 Streptococcus spp. 12 12 7 4 6 4 Bacteroides fragilis 1 1 1 0 2 3	Peptostreptococcus anaerobius	3	3	1	0				
Streptococcus spp. 12 12 12 7 4 6 4 Bacteroides fragilis 1 1 1 0 2 3	Staphylococcus aureus	22	19	9	5/2	7	6		
Bacteroides fragilis 1 1 1 0 Enterobacter cloacae complex 2 2 2 0 2 2 Escherichia coli 1 1 1 0	Staphylococcus <u>lugdunensis</u>	3	3	1	1/1				
Enterobacter cloacae complex 2 3 <td< td=""><td>Streptococcus spp.</td><td>12</td><td>12</td><td>7</td><td>4</td><td>6</td><td>4</td></td<>	Streptococcus spp.	12	12	7	4	6	4		
Escherichia coli 1 1 1 0 Haemophilus influenzae 1 1 0 0 Kinaella kinaae 6 6 3 0 Klebsiella pneumoniae group 1 1 0 1 1 1 Morganella morganii 2 2 0 1 1 1 Neisseria gonorrhoeae 3 3 1 0 0 0 Proteus spp. 4 4 1 0 0 0 0 Serratia marcescens 1 1 0 0 0 0 0 0	Bacteroides fragilis	1	1	1	0				
Haemophilus influenzae 1 1 0 0 Kingella kingae 6 6 6 3 0 Klebsiella pneumoniae group 1 1 0 1 1 1 Morganella morganii 2 2 0 1 1 1 Neisseria gonorrhoeae 3 3 1 0 0 Proteus spp. 4 4 1 0 0 Pseudomonas aeruginosa 3 3 1 1 1 Serratia marcescens 1 1 0 0	Enterobacter <u>cloacae</u> complex	2	2	2	0	2	2		
Kingella kingae 6 6 3 0 Klebsiella pneumoniae group 1 1 0 1 1 1 Morganella morganii 2 2 0 1 Neisseria gonorrhoeae 3 3 1 0 Proteus spp. 4 4 1 0 Pseudomonas aeruginosa 3 3 1 1 Serratia marcescens 1 1 0 0	Escherichia coli	1	1	1	0				
Klebsiella pneumoniae group 1 1 0 1 1 1 Morganella morganii 2 2 0 1 Neisseria gonorrhoeae 3 3 1 0 Proteus spp. 4 4 1 0 Pseudomonas aeruginosa 3 3 1 1 Serratia marcescens 1 1 0 0	Haemophilus influenzae	1	1	0	0				
Morganella morganii 2 2 0 1 Neisseria gonorrhoeae 3 3 1 0 Proteus spp. 4 4 1 0 Pseudomonas aeruginosa 3 3 1 1 Serratia marcescens 1 1 0 0	Kingella kingae	6	6	3	0				
Neisseria gonorrhoeae3310Proteus spp.4410Pseudomonas aeruginosa3311Serratia marcescens1100	<i>Klebsiella <u>pneumoniae</u> g</i> roup	1	1	0	1	1	1		
Proteus spp. 4 4 4 1 0 Pseudomonas aeruginosa 3 3 1 1 Serratia marcescens 1 1 0 0	Morganella morganii	2	2	0	1				
Pseudomonas aeruginosa 3 3 1 1 1 Serratia marcescens 1 1 0 0	Neisseria gonorrhoeae	3	3	1	0				
Serratia marcescens 1 1 1 0 0	Proteus spp.	4	4	1	0				
	Pseudomonas <u>aeruginosa</u>	3	3	1	1				
Candida 1 1 0 0 3 2	Serratia <u>marcescens</u>	1	1	0	0				
	Candida	1	1	0	0	3	2		

Table ronde CRIOAC SOFCOT - 2022



Analyse des discordances entre résultats de culture vs appproche syndromique JI BIOFIRE

Etude prospective					
international					
multicentrique sur					
1544 liquides					
articulaires					

75 FP (4,5%) mais Gold Standard imparfait !!!

20 FN

Capacité à détéctés les infectios polymicrobiennes

	False positive results				False negative results		
Target	n	Positive independant molecular	Relevant prior antimicrobials	Culture of the same bacteria in another sample/past history	n	Positive independant molecular	
		assay	antimicropiais	of infection		assay	
Total	75	72	29	17	20	16	
Enterococcus faecium	2	2					
<u>Finegoldia</u> magna	1	1	0	0			
Parvimonas micra	-	-	-	-	1	1	
<u>Peptoniphilus</u>	1	1	0	0			
Peptostreptococcus anaerobius	3	3	1	0			
Staphylococcus aureus	22	19	9	5/2	7	6	
Staphylococcus <u>lugdunensis</u>	3	3	1	1/1			
Streptococcus spp.	12	12	7	4	6	4	
Bacteroides fragilis	1	1	1	0			
Enterobacter <u>cloacae</u> complex	2	2	2	0	2	2	
Escherichia coli	1	1	1	0			
Haemophilus influenzae	1	1	0	0			
<u>Kingella kingae</u>	6	6	3	0			
<i>Klebsiella <u>pneumoniae</u></i> group	1	1	0	1	1	1	
Morganella morganii	2	2	0	1			
Neisseria gonorrhoeae	3	3	1	0			
Proteus spp.	4	4	1	0			
Pseudomonas <mark>aeruginosa</mark>	3	3	1	1			
Serratia <u>marcescens</u>	1	1	0	0			
Candida	1	1	0	0	3	2	

Table ronde CRIOAC SOFCOT - 2022



Etude BIOFIRE JI Panel – France vie réelle

- Juillet 2021- Mai 2022 avec soutien de bioMérieux
- 6 laboratoires : 5 laboratoires hospitaliers +1 laboratoire privé
- Liquides synoviaux uniquement collectés de patients avec arthrites aiguës



Critères d'inclusion ADULTES

- ⇒ Critères ICM Philly 2018 et EBJIS 2021
- Arthrite aiguë sur articulation native ou prothèse
- Liquide synovial avec GB > 1700 BG/ μ l et \geq 65 % polynucléaires pour prothèse ou fistules en continuité avec l'articulation ou visualisation de la prothèse

Critères d'inclusion ENFANTS

⇒ Impotence fonctionnelle avec douleur avec des signes cliniques ou biologiques d'infection



Résultats préliminaires

N = 319 liquides articulaires collectés chez 319 patients

318 résultats disponibles = seulement un ininterprétable !

Vrai Positif (VP)	Vrai Négatif (VN)	Faux Positif (FP)			Faux Négatif (FI	V)	En cours d'investigation
BF+ / Culture+ ou autres tech	BF- / Culture -	BF+ / Culture -	E	BF- / C	ulture + ou aut	res tech	
149 (<mark>47%</mark>)	131 (<mark>41%</mark>)	0			33 (10%)		5 (<mark>2%</mark>)

- 18 (6%): non inscrit au panel = « missing target » (10 S. epidermidis, 2 S. capitis, 2 C. acnes, 4 others)
- 15 (5%): "vrai" FN = défaut de sensibilité du test BioFire JI panel?
 - très faibles inoculum = effet sampling? (pour au moins 8 des cas (Boite-/flacon+)
 - → 8 S. aureus, 4 P. aeruginosa, 1 E. coli, 1 N. gonorrhoeae, 1 P. micra



Approche syndromique JI BIOFIRE

• Excellente performance de l'approche syndromique BIOFIRE® JI pan 🗗

• **Gènes de résistance** : tous détectés

Mais positionnement du test à discuter du fait des trous dans le panel

- > Urgences vs chirurgie orthopédique ; aiguë vs chronique
- Positionnement du test à discuter en RCP (en seconde intention si ATB)
- Etudes médico-économiques réquises

- \Rightarrow Added medical value?
- ⇒ Nécessité d'avoir une vision globale de l'utilité du BIOFIRE JI Panel



200/€ par test



Approche syndromique et IOA – Unyvero Curetis

Semi-automatisé 200-300/€ - Results in 5-6 hours !!



UNYVERO APPLICATION CARTRIDGES





Curetis to Launch Next Generation CE-IVD Unyvero Implant and Tissue Infection Application Cartridge

- Launch follows successful completion of CE Performance Evaluation Study
 - ITI now covers 102 diagnostic targets, including 85 pathogens and 17 resistance markers



Approche syndromique et IOA – Unyvero Curetis

GROUP	PATHOGEN							
Universal Bacteria								
	Staphylococcus aureus							
	Coagulase negative staphylococci							
	Streptococcus spp.							
	Streptococcus agalactiae							
Orana masitiva bas	Streptococcus pneumoniae							
Gram-positive bac- teria	Streptococcus pyogenes / dys- galactiae							
	Granulicatella adiacens							
	Abiotrophia defectiva							
	Enterococcus spp.							
	Enterococcus faecalis							
Corynebacteriaceae	Corynebacterium spp.							
	Citrobacter freundii / koseri							
	Escherichia coli							
	Enterobacter cloacae complex							
Enterobacteriaceae	Enterobacter aerogenes							
Lineropacteriaceae	Klebsiella pneumoniae							
	Klebsiella oxytoca							
	Klebsiella variicola							
	Proteus spp.							
Non-fermenting	Acinetobacter baumannii complex							
bacteria	Pseudomonas aeruginosa							
	Propionibacterium acnes							
Anaerobic bacteria	Finegoldia magna							
	Bacteroides fragilis group							
	Candida spp.							
	Candida albicans							
Fungi	Candida glabrata							
	I.orientalis (C.krusei)							
	Candida tropicalis							

GENE	RESISTANCE AGAINST
aac(6')aph(2")	Aminoglycoside
ermA	Macrolide/Lincosamide
ermC	Macrolide/Lincosamide
mecA	Oxacillin
mecC (LGA251)	Oxacillin
vanA	Vancomycin
vanB	Vancomycin
aacA4	Aminoglycoside
ctx-M	3rd generation Cephalosporins
kpc	Carbapenem
imp	Carbapenem
ndm	Carbapenem
oxa-23	Carbapenem
oxa-24/40	Carbapenem
oxa-48	Carbapenem
oxa-58	Carbapenem
vim	Carbapenem



TISSUE
INFECTION
APPLICATION

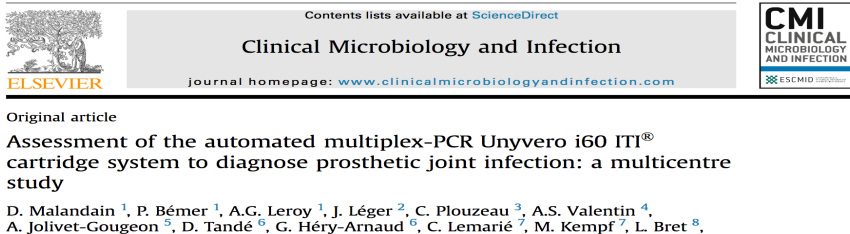


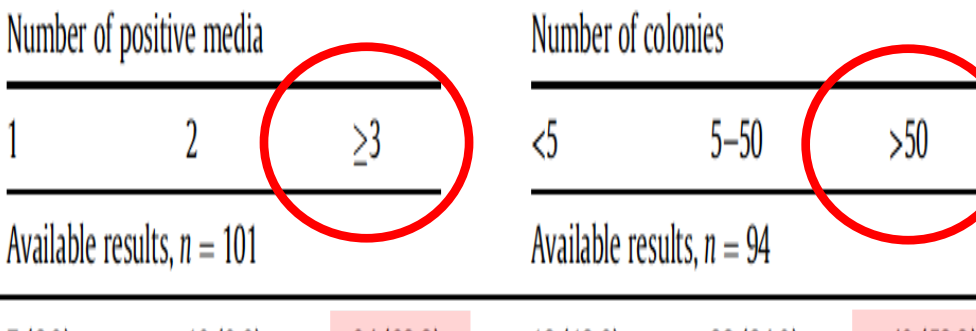


Approche syndromique et IOA – Unyvero Curetis

Impact of bacterial inoculum on culture and multiplex PCR results

Curetis Unyvero = "mPCR"





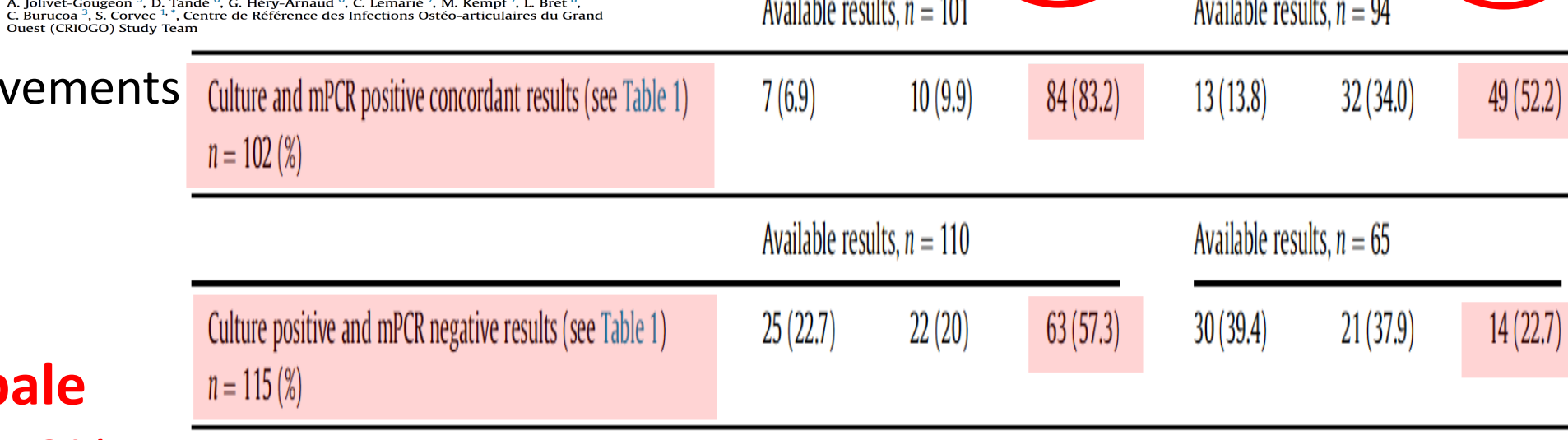
Large études: 440 prélèvements

- 164 LA négatifs
- 276 LA positifs

Concordance globale

Culture vs mPCR = 58% mPCR vs 16S PCR = 70%

5h-7h! Non automatisé!



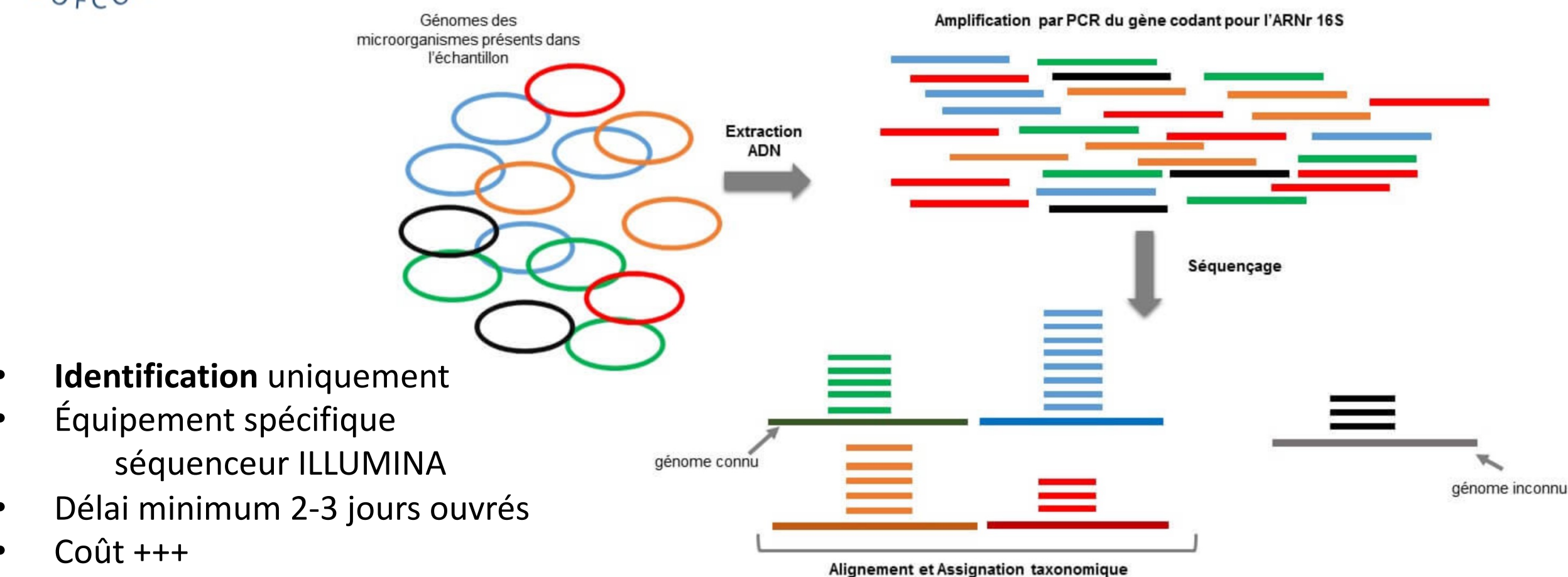
Conclusion: This new standardized molecular test showed a lack of detection when the bacterial inoculum was low (number of positive media per sample and number of colonies per media) but can be useful when patients have received antibiotic therapy previously. **D. Malandain, Clin Microbiol Infection83.e1**—83.e6



Outisl moélculaires : métagénomique et IOA

Métagénomique 16S

Pb: Contamination et seuil de positivité



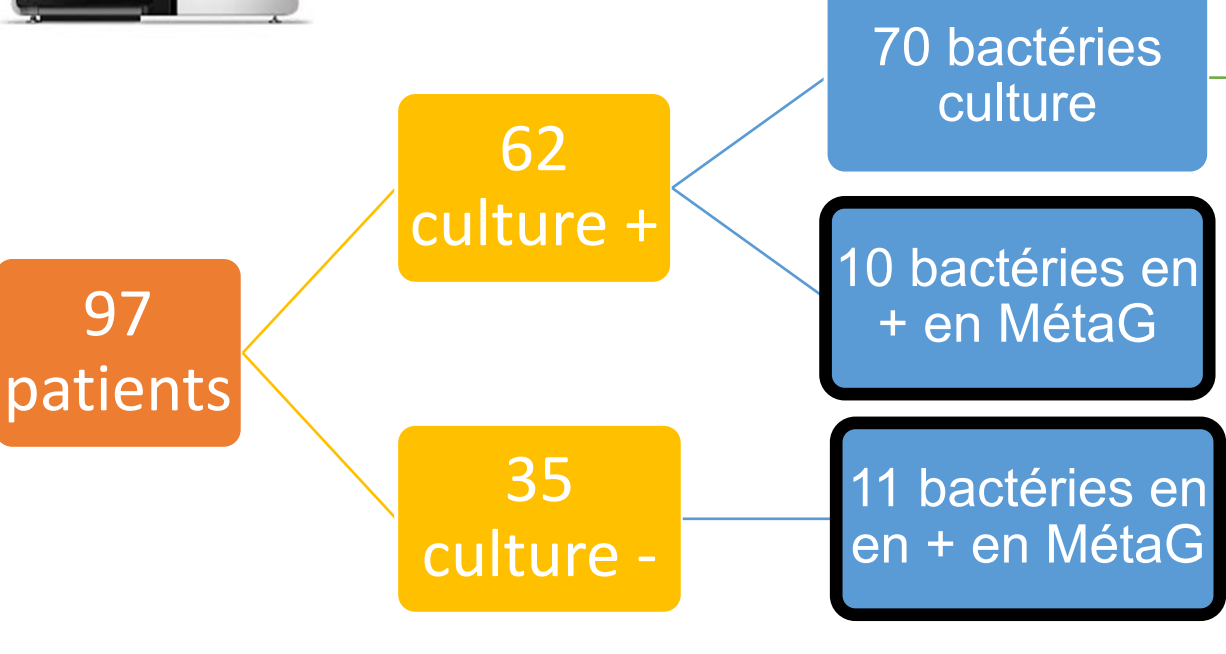


Molecular Diagnosis of Orthopedic-Device-Related Infection Directly from Sonication Fluid by Metagenomic Sequencing

Teresa L. Street,^a Nicholas D. Sanderson,^a Bridget L. Atkins,^{b,c} Andrew J. Brent,^{a,b} Kevin Cole,^{d,e} Dona Foster,^a Martin A. McNally,^b Sarah Oakley,^c Leon Peto,^a Adrian Taylor,^b Tim E. A. Peto,^{a,f} Derrick W. Crook,^{a,f} David W. Eyre^{a,f}



Métagénomique 16S



Not Detected:

1 S. condimenti

1 E. faecium

1 P. aeruginosa

1 Aeromonas

5 anaérobies

66 MétaG

Conta?: C. acnes, S. equi, Corynebacterium Mauvaise classification?: Morganella (Proteus)

S. aureus, S. dysgalactiae (ATB préalable)

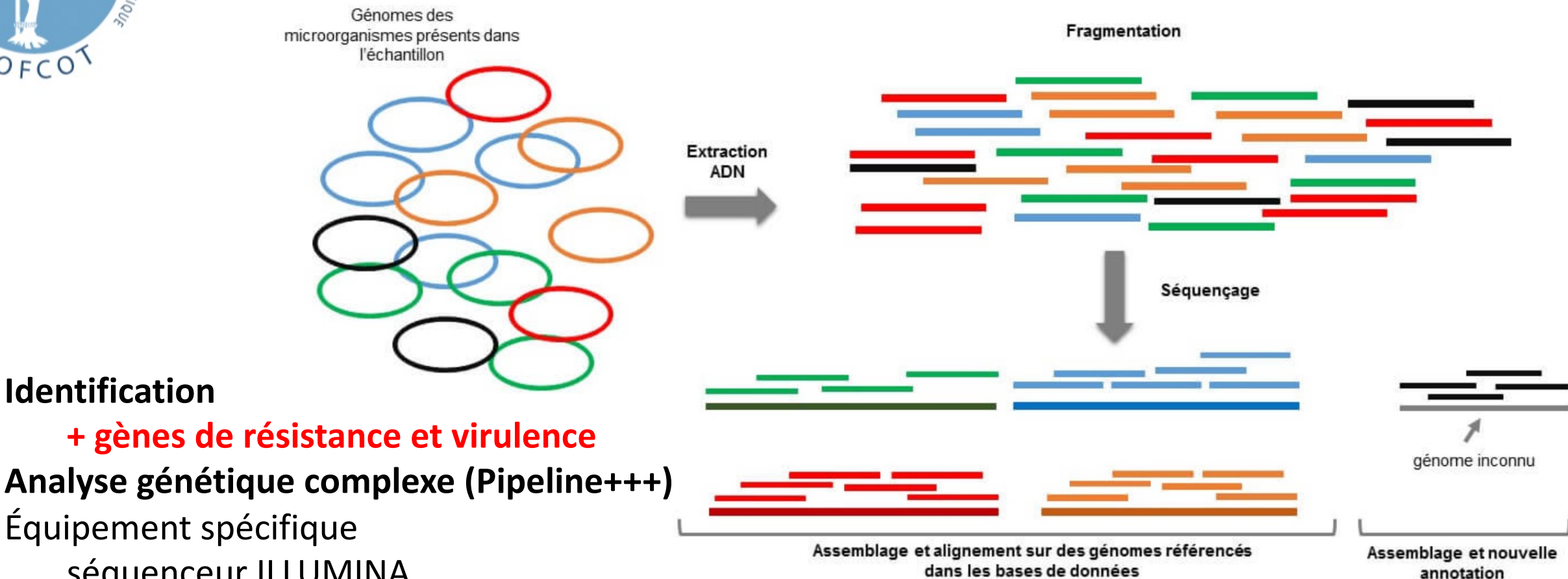
Conta?: 6 C. acnes, 1 S. epidermidis

1 Ralstonia, 1 Enterobacter



Métagénomique et IOA

Métagénomique SHUTGUN



séquenceur ILLUMINA

Identification

- Délai 2-3 jours ouvrés
- Coût +++
- Contamination et seuil de positivité



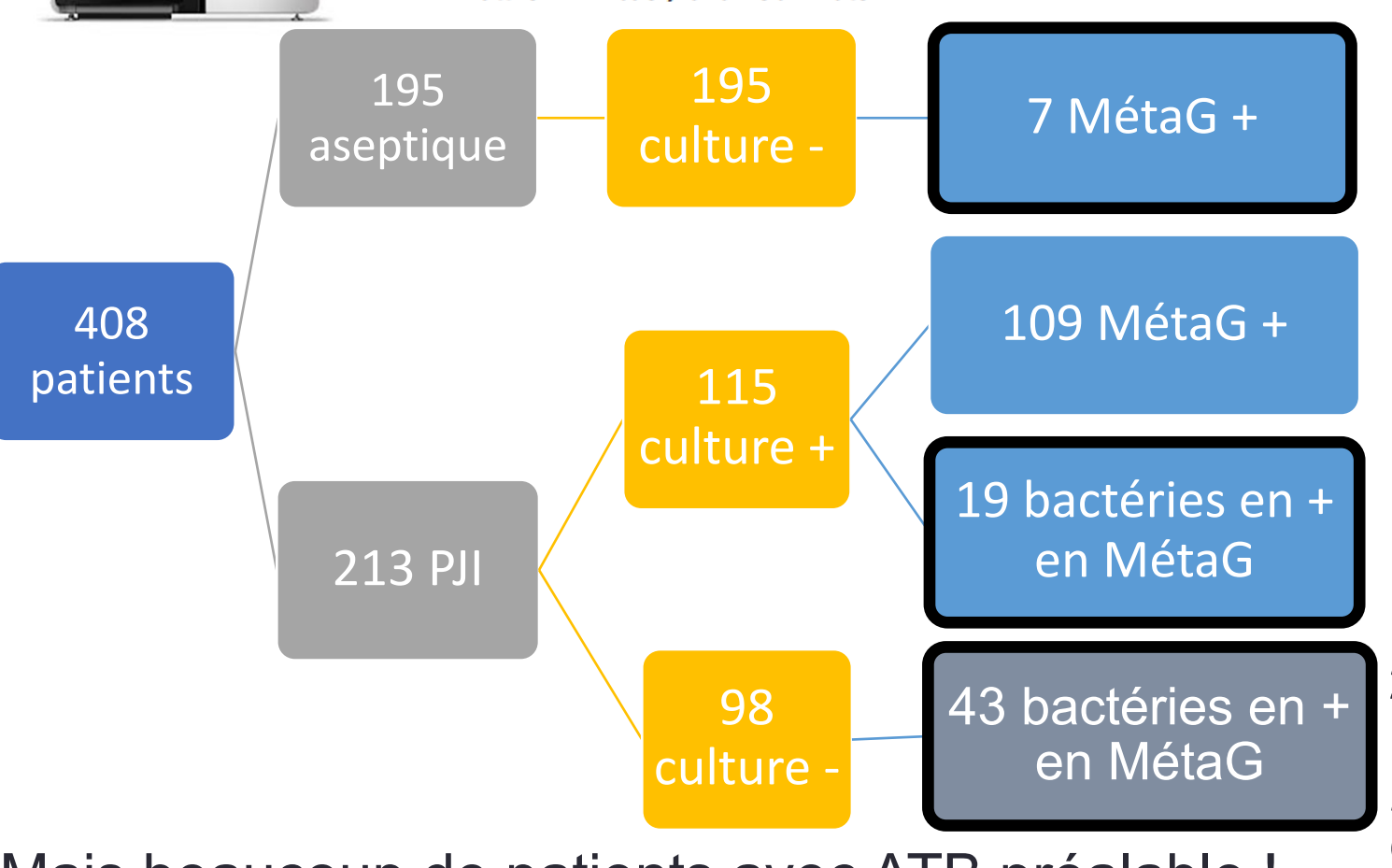






Identification of Prosthetic Joint Infection Pathogens Using a Shotgun Metagenomics Approach

Matthew J. Thoendel, Patricio R. Jeraldo, Kerryl E. Greenwood-Quaintance, Janet Z. Yao, Nicholas Chia, Arlen D. Hanssen, Matthew P. Abdel, and Robin Patel 1,3



S. aureus (3), S. sanguinis (2) Conta? C. acnes (2)

Not Dect. : Bacillus, C. albicans, Mycobacterium abcessus, Porphyromonas, P. aeruginosa

8 anaérobies
Infection? Enterobacter, S. aureus,
S. lugdunensis
Conta? C. acnes, S. epidermidis

2 anaérobies Infection? S. aureus (10!), Enterobacter, Mycobacterium, Mycoplasma, Candida ... Conta? C. acnes, Corynebacterium

Mais beaucoup de patients avec ATB préalable !



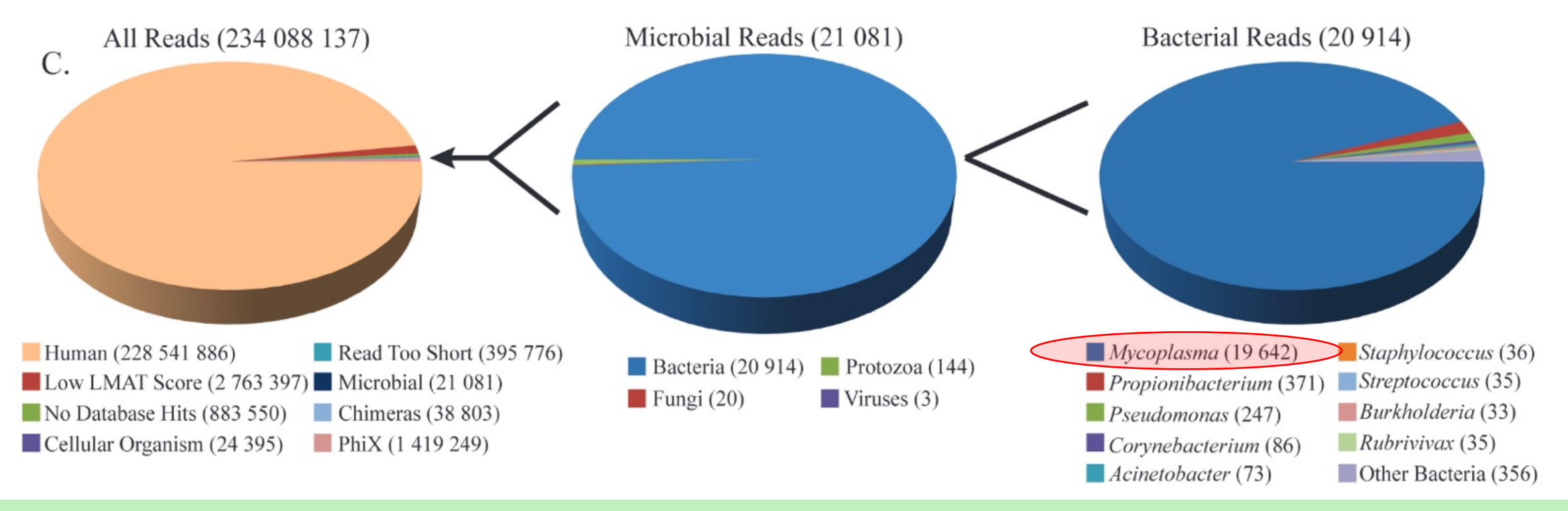
Métagénomique SHUTGUN - Illumina

Clinical Infectious Diseases

BRIEF REPORT

A Novel Prosthetic Joint Infection Pathogen, *Mycoplasma salivarium*, Identified by Metagenomic Shotgun Sequencing

Matthew Thoendel,¹ Patricio Jeraldo,² Kerryl E. Greenwood-Quaintance,³ Nicholas Chia,² Matthew P. Abdel,⁴ James M. Steckelberg,¹ Douglas R. Osmon,¹ and Robin Patel^{1,3}



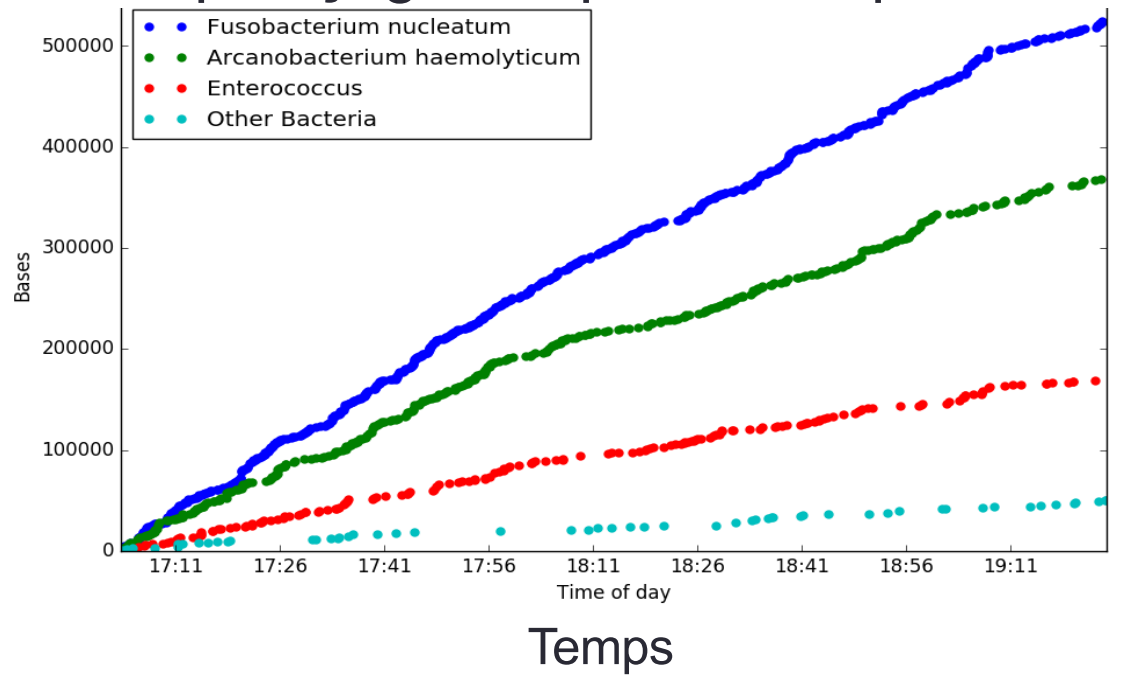


Real-time analysis of nanopore-based BMC Genomics metagenomic sequencing from infected orthopaedic devices

Nicholas D Sanderson^{1*}, Teresa L Street¹, Dona Foster¹, Jeremy Swann¹, Bridget L Atkins^{3,4}, Andrew J Brent^{1,3}, Martin A McNally³, Sarah Oakley⁴, Adrian Taylor⁴, Tim E A Peto^{1,2}, Derrick W Crook^{1,2} and David W Eyre^{1,2}

Comparaison séquençage Illumina versus Nanopore pour 9 échantillons

- Résultats semblables
- Nanopore : Séquençage temps réel disponibles en 2 heures







Nouveaux outils diagnostiques

Outils moléculaires +++

- Perspectives dans le domaine de la culture
- Perspectives dans le domaine des biomarqueurs

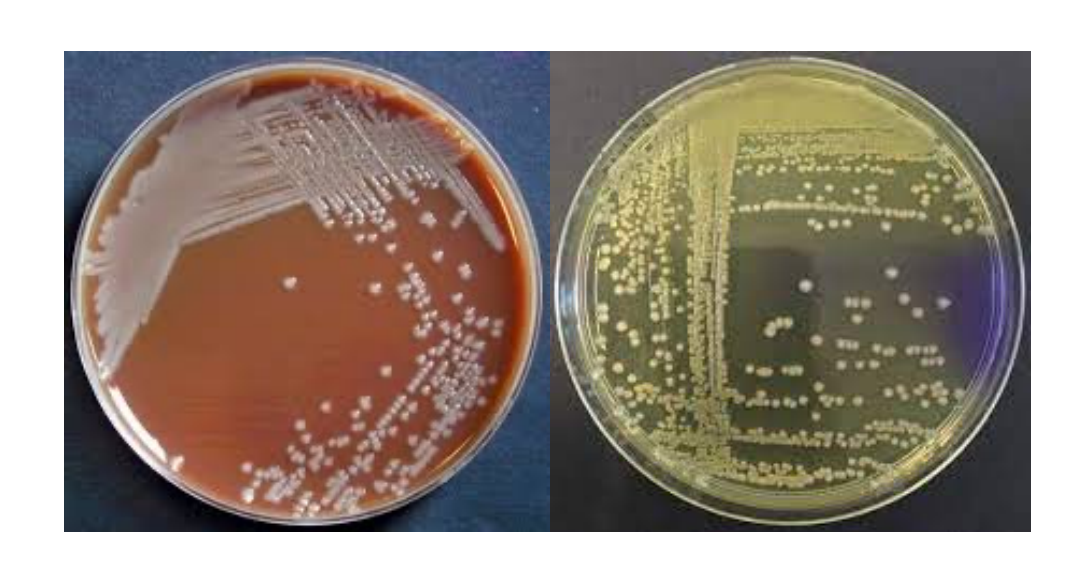


Nouveaux outils diagnostiques Culture et IOAc

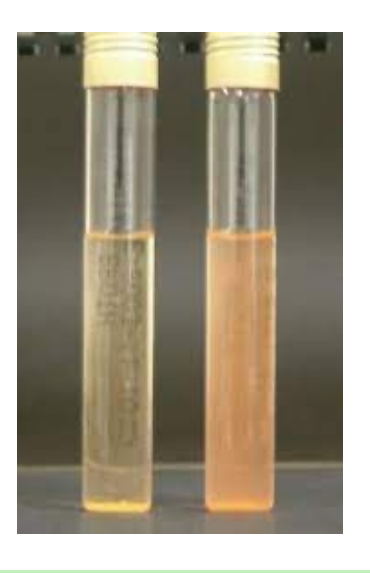
La culture conventionnelle reste/restera indispensable

- ✓ identification
- Antibiogramme
- comparaison de souches

Mais peut-on faire différemment/mieux?







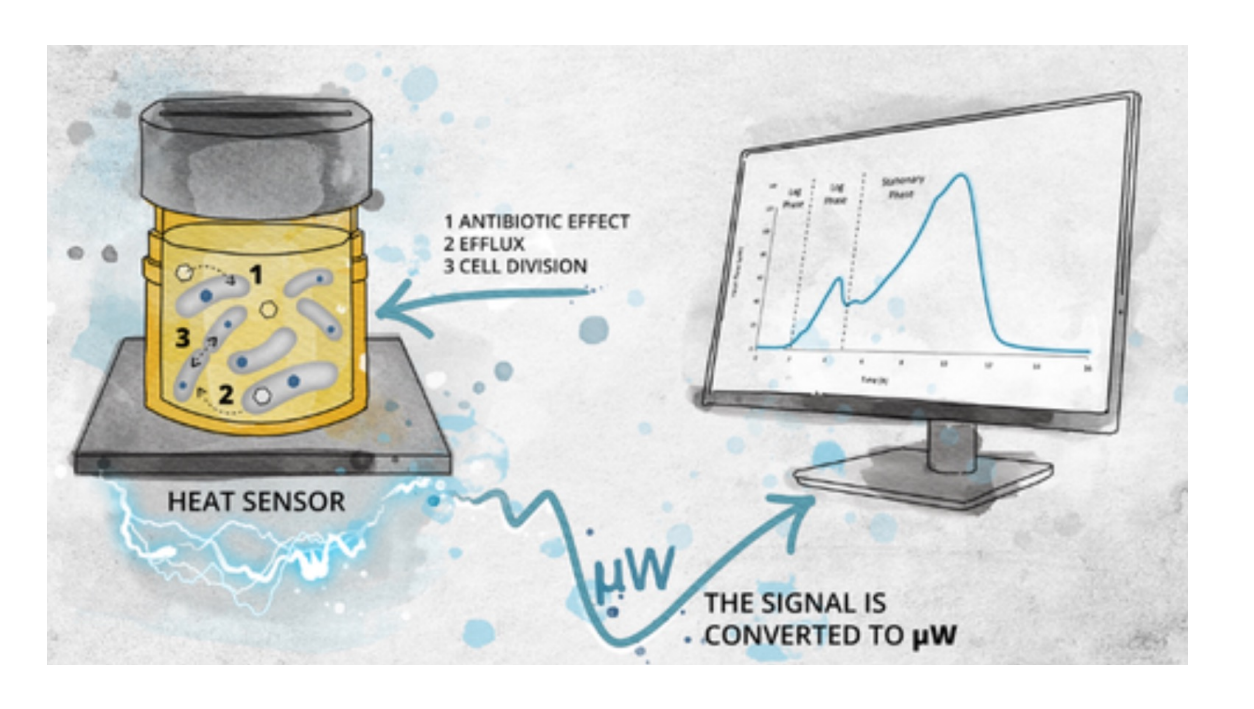


Nouveaux outils diagnostiques Culture et IOAc

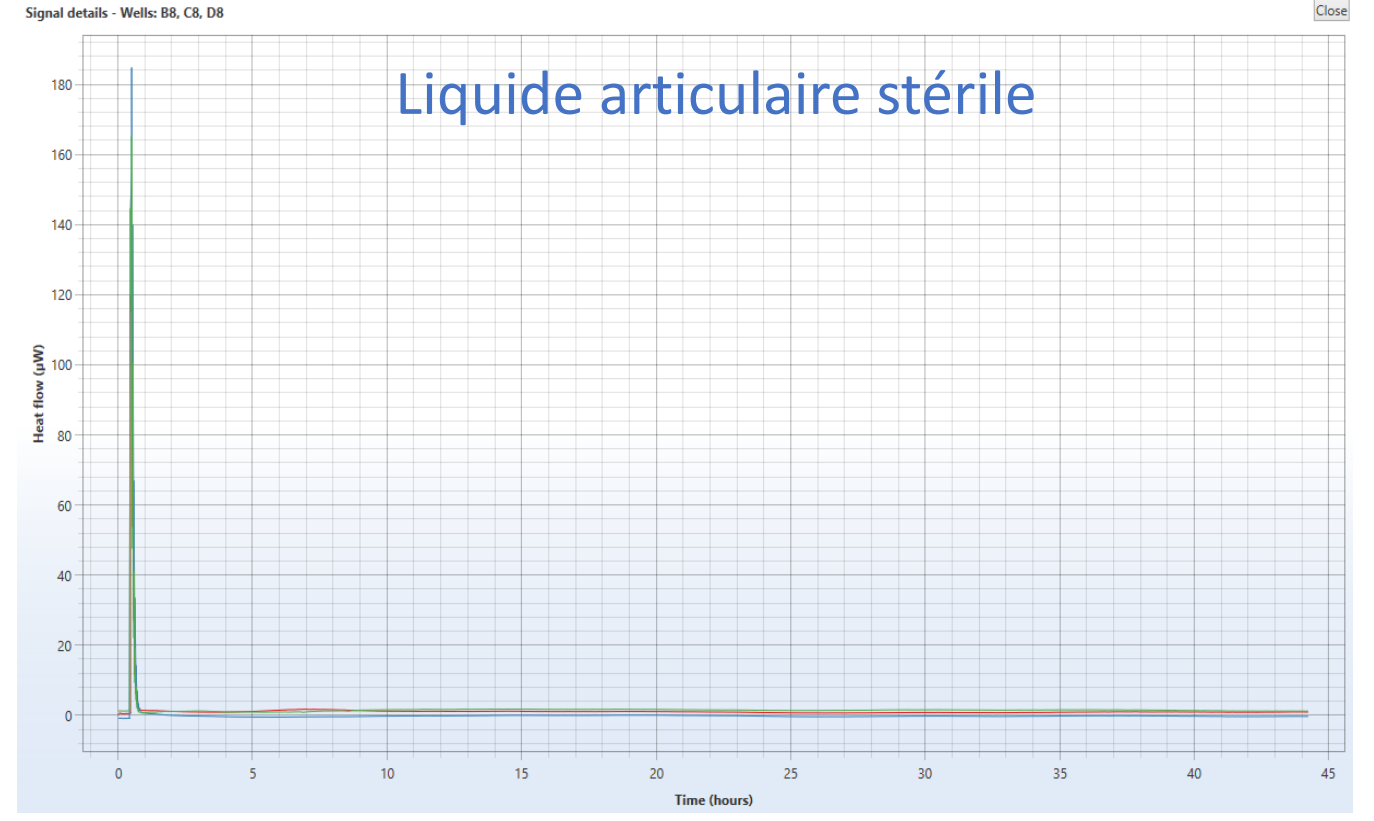
Microcalorimétrie

- = Détection ultrasensible de microvariation de chaleur
- √ croissance des bactéries = microchaleur dégagée/detectable
- ✓ ultrasensible = précoce!





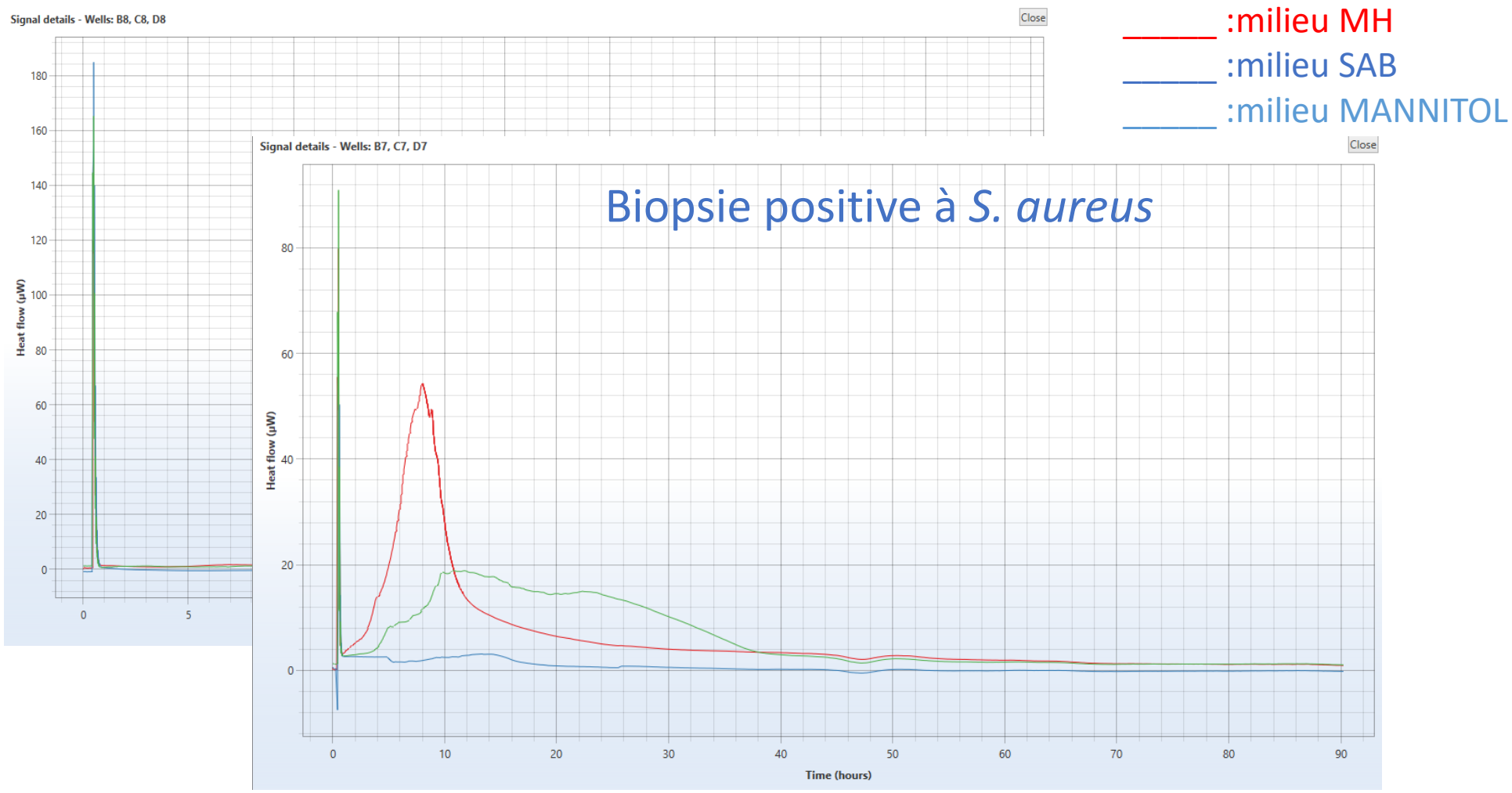






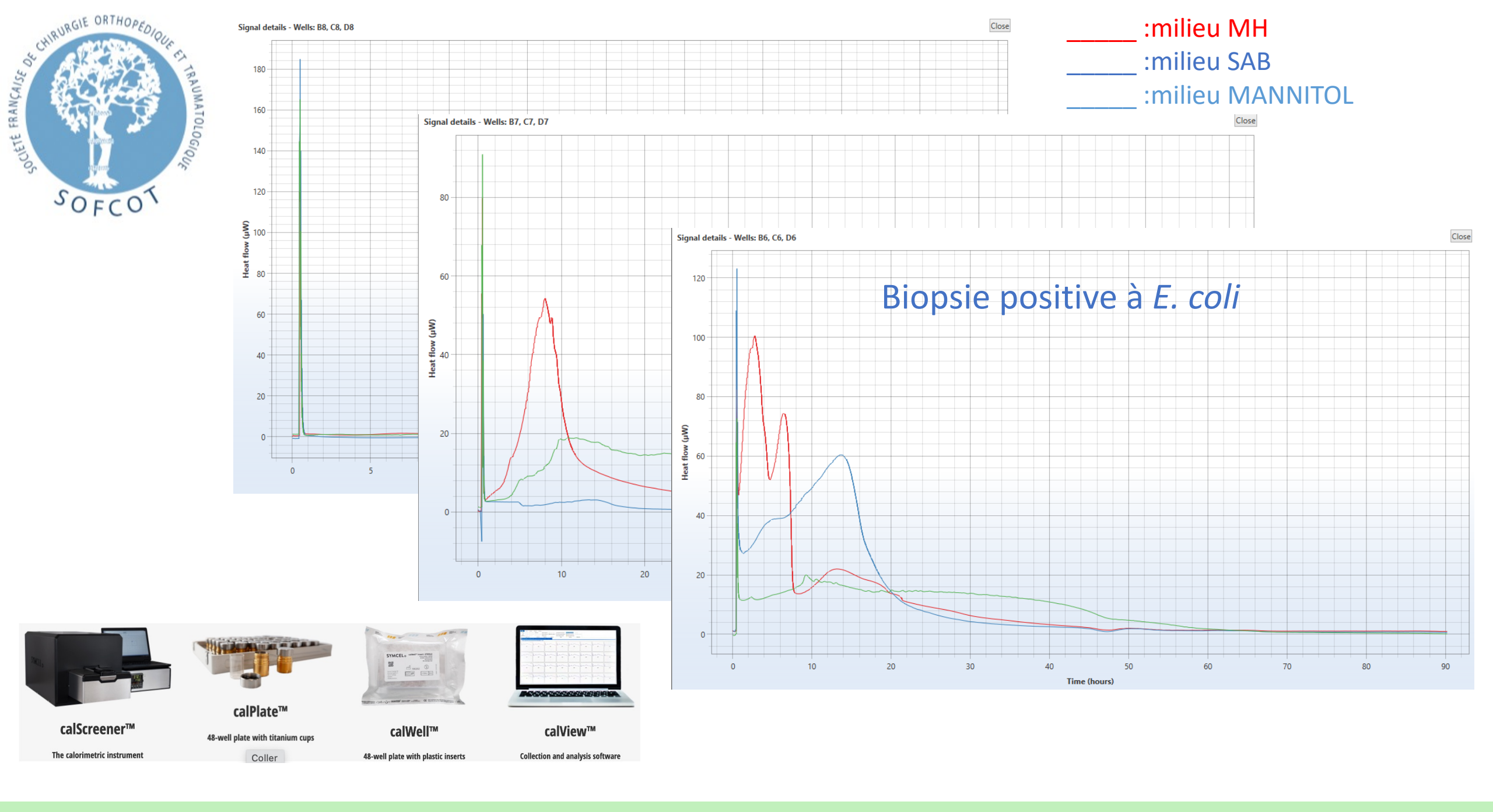








Signal details - Wells: B8, C8, D8



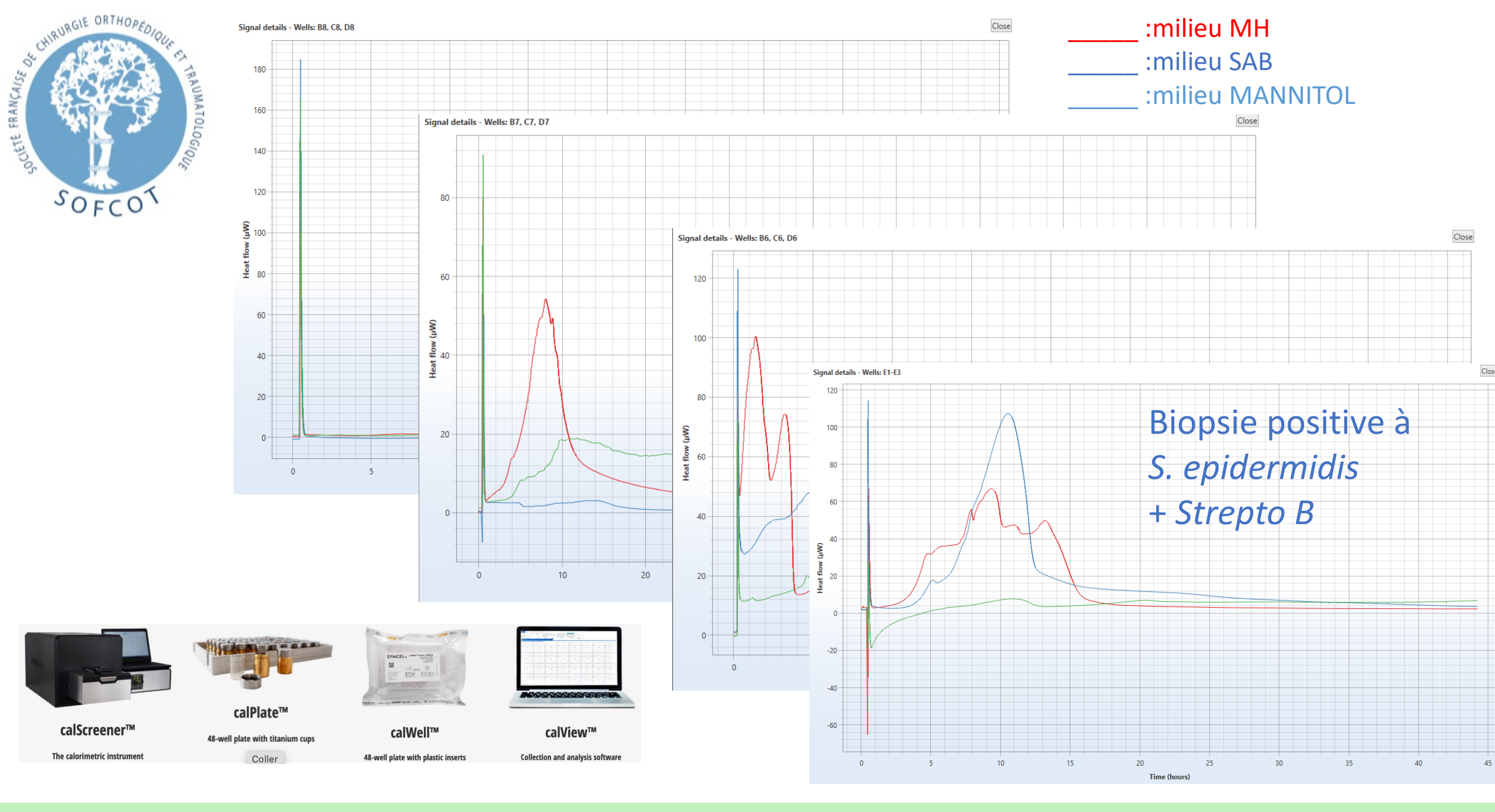


Table ronde CRIOAC SOFCOT - 2022



Outils moléculaires +++

- Perspectives dans le domaine de la culture
- Perspectives dans le domaine des biomarqueurs



Nouveaux outils diagnostiques Biomarqueurs

Diagnostiques

Prédictifs



COPYRIGHT © 2011 BY THE JOURNAL OF BONE AND JOINT SURGERY, INCORPORATED

Diagnosis of Periprosthetic Joint Infection: The Utility of a Simple Yet Unappreciated Enzyme

Javad Parvizi, MD, FRCS, Christina Jacovides, BS, Valentin Antoci, MD, PhD, and Elie Ghanem, MD

Investigation performed at the Rothman Institute of Orthopedics at Thomas Jefferson University Hospital, Philadelphia, Pennsylvania

Clin Orthop Relat Res (2014) 472:3254–3262 DOI 10.1007/s11999-014-3543-8 Clinical Orthopaedics and Related Research®

SYMPOSIUM: 2013 MUSCULOSKELETAL INFECTION SOCIETY

Diagnosing Periprosthetic Joint Infection

Has the Era of the Biomarker Arrived?

Carl Deirmengian MD, Keith Kardos PhD, Patrick Kilmartin, Alexander Cameron, Kevin Schiller, Javad Parvizi MD

23 biomarqueurs testés !?

Human α-defensin 1-3 Interleukin 1α Transforming growth factor α Interleukin 1B Cathelicidin (LL-37) Lipopolysaccharide binding protein Interleukin 6 Interleukin 8 Calcitonin gene-related peptide Interleukin 10 Orsomucoid Interleukin 17 Nibrin Granulocyte colony-stimulating Tumor necrosis factor-stimulated factor gene 6 protein Vascular endothelial growth Plekstrin factor C-reactive protein Superoxide dismutase 2 Neutrophil elastase 2 Urokinase Lactoferrin Migration inhibitory factor Neutrophil gelatinase-Plasminogen activator inhibitor associated lipocalin type 1 Soluble Fas Thrombospondin 1 Soluble Fas ligand Bactericidal/permeability-Soluble intercellular adhesion increasing protein molecule 1 Soluble vascular cell adhesion molecule 1 Granzyme B Heat shock protein 70 Macrophage inflammatory protein 1α Macrophage inflammatory protein 1B Matrix metalloproteinase 8 Tumor necrosis factor α Interferon-y inducible protein Fibroblast growth factor 2 α-2 macroglobulin

Skin-derived antileukonmtease

Proteins passing screen (n = 16) Proteins failing screen (n = 27)

Pour qui? Quand? Comment? Où?

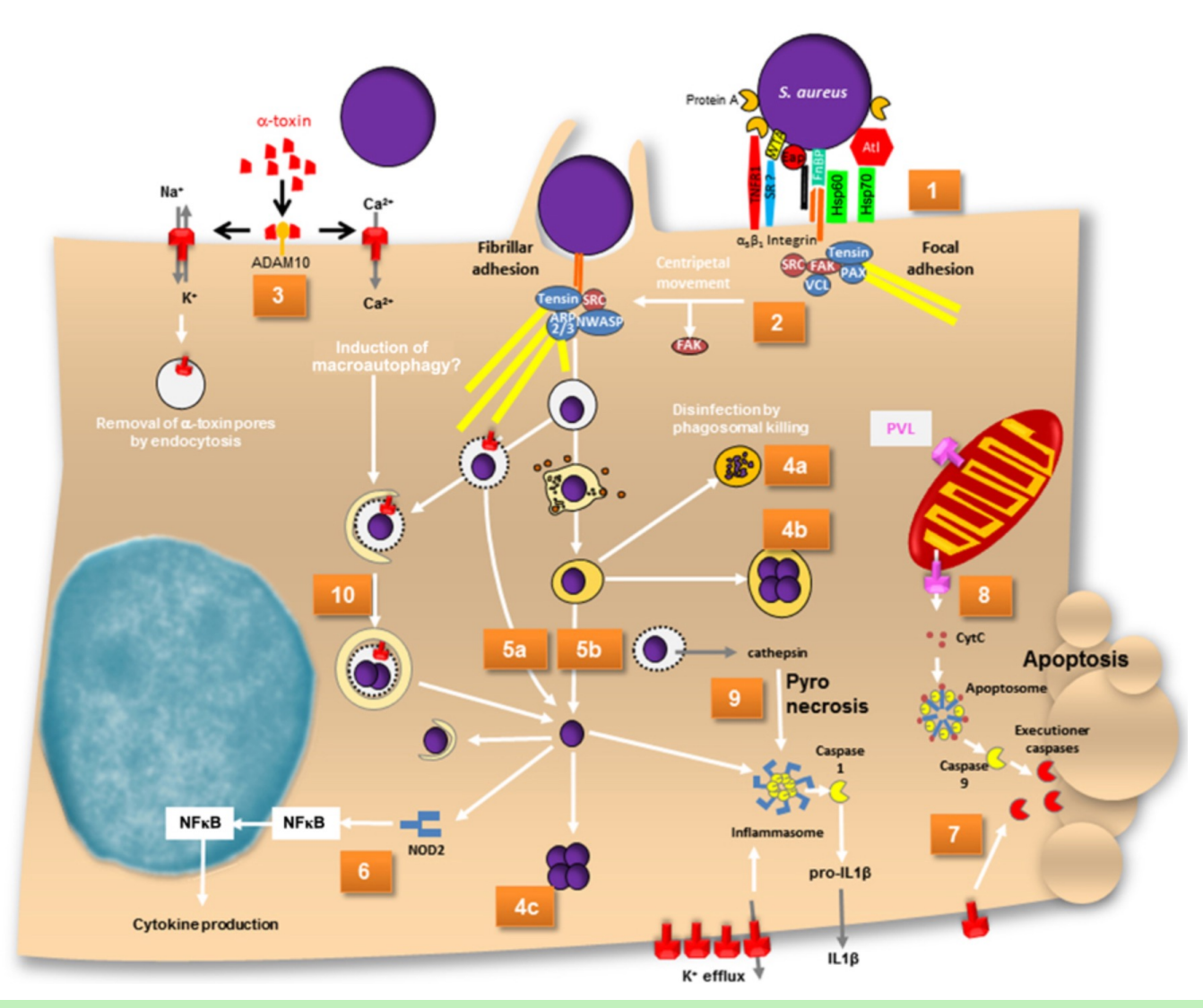


Nouveaux outils diagnostiques Biomarqueurs hors inflammation

Transcriptome Architecture of Osteoblastic Cells Infected With Staphylococcus aureus Reveals Strong Inflammatory Responses and Signatures of Metabolic and Epigenetic Dysregulation

Aurélie Nicolas¹, Martine Deplanche¹, Pierre-Henri Commere², Alan Diot^{3,4}, Clemence Genthon⁵, Wanderson Marques da Silva^{1,6}, Vasco Azevedo⁶, Pierre Germon⁷, Hélène Jamme^{8,9}, Eric Guédon¹, Yves Le Loir¹, Fréderic Laurent^{3,4}, Hélène Bierne¹⁰ and Nadia Berkova^{1*}

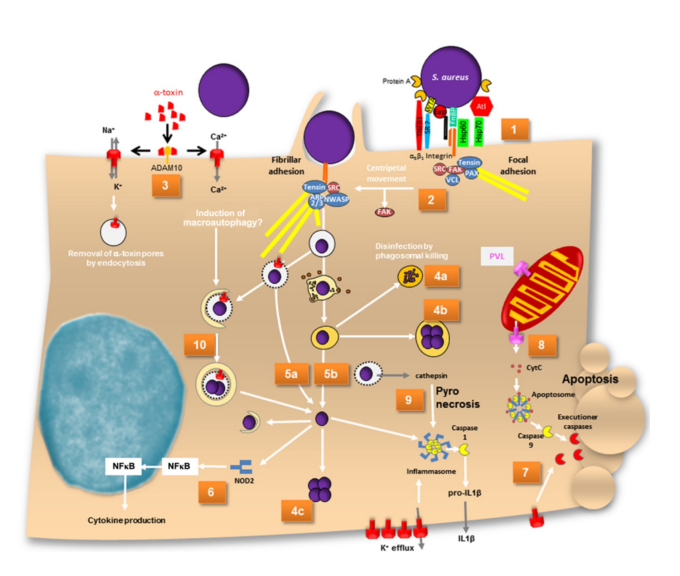
ARN messager exprimés par les ostéoblastes avec des *S. aureus* = infections chroniques





Transcriptome Architecture of Osteoblastic Cells Infected With Staphylococcus aureus Reveals Strong Inflammatory Responses and Signatures of Metabolic and Epigenetic Dysregulation

Aurélie Nicolas¹, Martine Deplanche¹, Pierre-Henri Commere², Alan Diot^{3,4}, Clemence Genthon⁵, Wanderson Marques da Silva^{1,6}, Vasco Azevedo⁶, Pierre Germon⁷, Hélène Jamme^{8,9}, Eric Guédon¹, Yves Le Loir¹, Fréderic Laurent^{3,4}, Hélène Bierne¹⁰ and Nadia Berkova¹*



Nouveaux outils diagnostiques Biomarqueurs

TABLE 2 | Immune system and signal transduction genes.

UniProt ID	Gene name	Gene description	FC	Log2FC	Adj.p-value
		Upregulated genes			
P0DJI8	saa1	serum amyloid A1	1599.72	10.64	2.93E-21
P04141	csf	colony stimulating factor 2 (granulocyte-macrophage)	1316.85	10.36	5.05E-39
P78556	ccl20	chemokine (C-C motif) ligand 20	396.66	8.63	7.36E-10
P09919	csf3	colony stimulating factor 3	234.28	7.87	6.34E-07
P80162	cxcl6	chemokine (C-X-C motif) ligand 6	174.86	7.45	1.67E-68
P10145	cxcl8	chemokine (C-X-C motif) ligand 8	134.94	7.08	2.42E-08
O95760	il33	interleukin 33	119.35	6.70	3.51E-11
P80098	ccl7	chemokine (C-C motif) ligand 7	99.50	6.63	8.09E-07
P25942	cd40	CD40 molecule, TNF receptor superfamily member 5	98.56	6.62	2.20E-21
P78423	cx3cl1	chemokine (C-X3-C motif) ligand 1	54.23	5.76	4.36E-05
PODJI9	saa2	serum amyloid A2	48.93	5.61	1.58E-04

TABLE 3 | Metabolism genes.

UniProt ID	Gene name	Gene description	FC	Log2FC	Adj.p-value
		Upregulated genes			
P14555	pla2g2a	phospholipase A2 group IIA	75.85	6.25	3.52E-03
P28845	hsd11b1	hydroxysteroid (11-beta) dehydrogenase 1	53.22	5.73	3.69E-04
134339	saa2	serum amyloid A 2	48.93	5.61	1.58E-04
P00167	cyb5a	cytochrome b5 type A	24.61	4.62	7.45E-05
P04179	sod2	superoxide dismutase 2. mitochondrial	14.24	3.83	3.17E-23
Q8TDS4	hcar2	hydroxycarboxylic acid receptor 2	13.22	3.72	5.34E-07
C9JRZ8	akr1b15	aldo-keto reductase family 1	10.51	3.39	1.21E-02

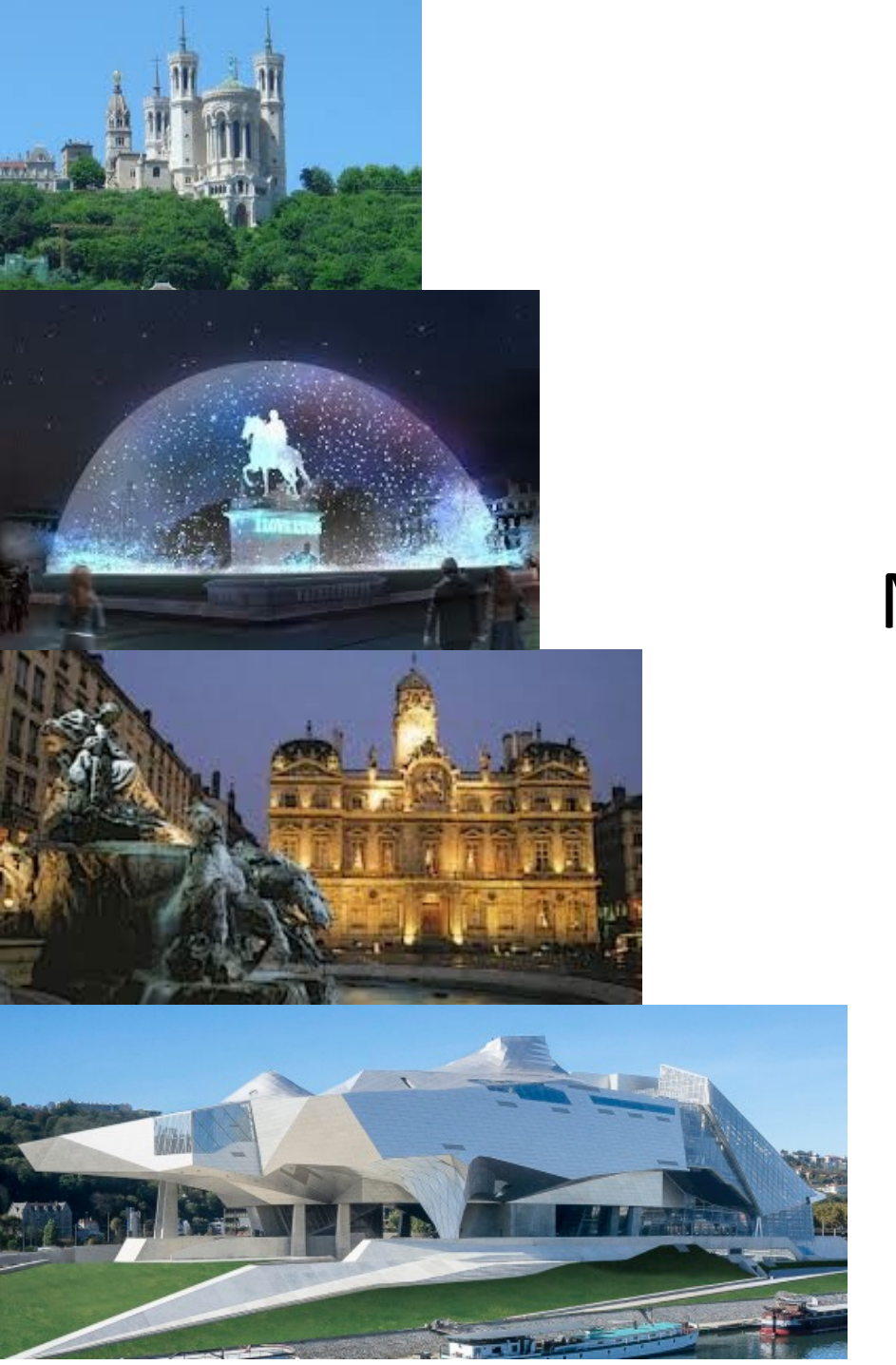
Table ronde CRIOAC SOFCOT - 2022



Nouveaux outils diagnostiques – F. Laurent

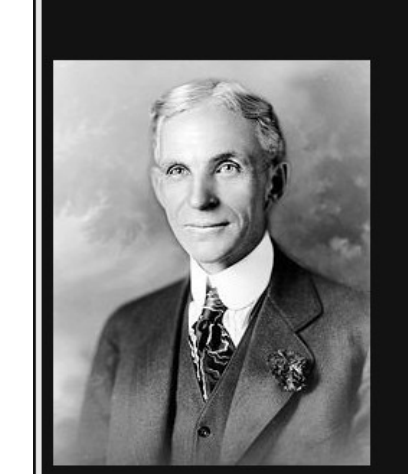
- Biologie moléculaire
 - ✓ Attention "Tout ce qui est moléculaire n'est pas or"
 - Avènement de l'approche syndromique mais son positionnement reste encore à affiner
 - ✓ Fort besoin en études médico-économiques
- Culture ...
 - ✓ conventionnelle : elle reste au cœur de la démarche diagnostique !
 - ✓ innovante : certaines technologies offrent (peut être) des nouvelles perspectiv
- Biomarqueurs diagnostiques et/ou prédictifs
 - ✓ Quand? Comment? Pour qui? Pour quel coût/bénéfice?
 - Biomarqueurs hors inflammation : des études prometteuses proposent des clés pour l'avenir !?

IOAC = diagnostic personnalisé +++ d'où l'importance des RCP





Merci pour votre attention ...



Se réunir est un début ; rester ensemble est un progrès ; travailler ensemble est la réussite.

(Henry Ford)